

Figure 10 – Investigation géophysique menée sur les cinq sites.

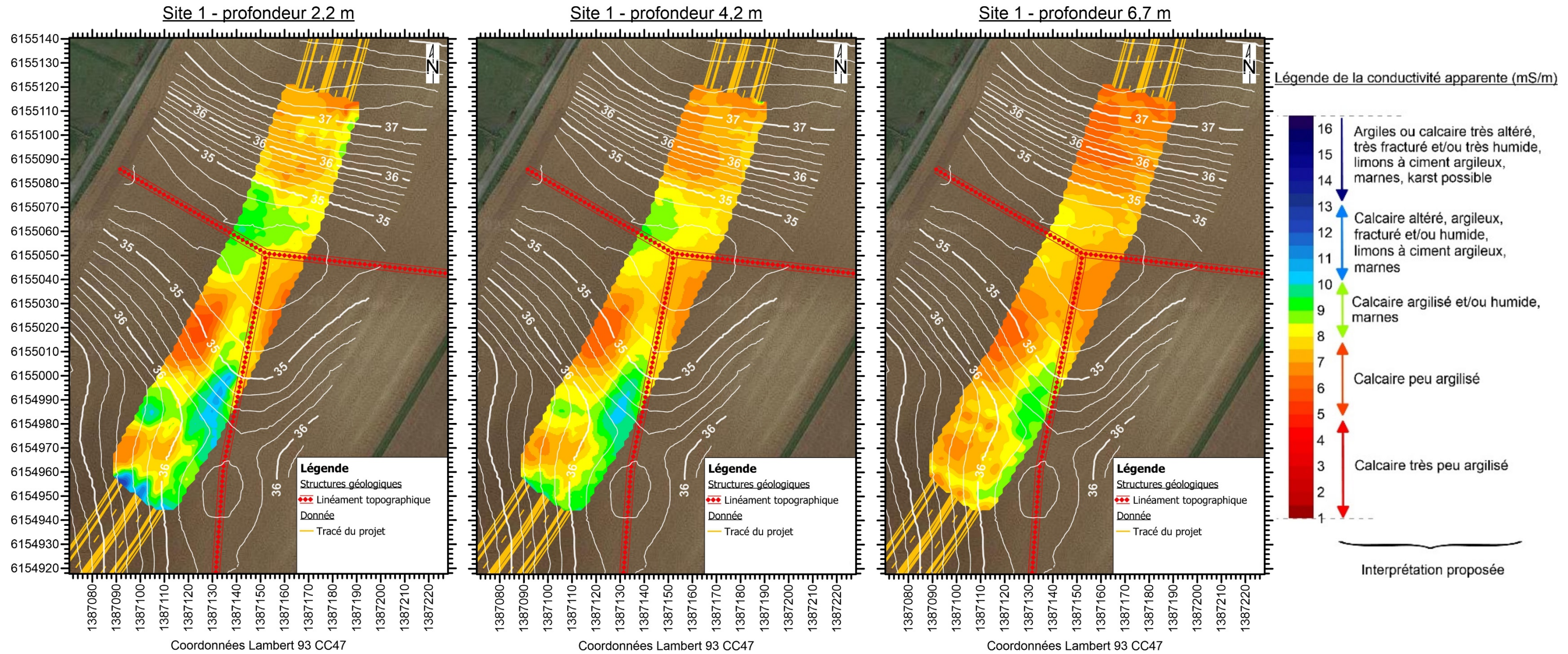


Figure 11 – Résultats de la conductivité apparente aux 3 profondeurs d’investigation sur le site 1.

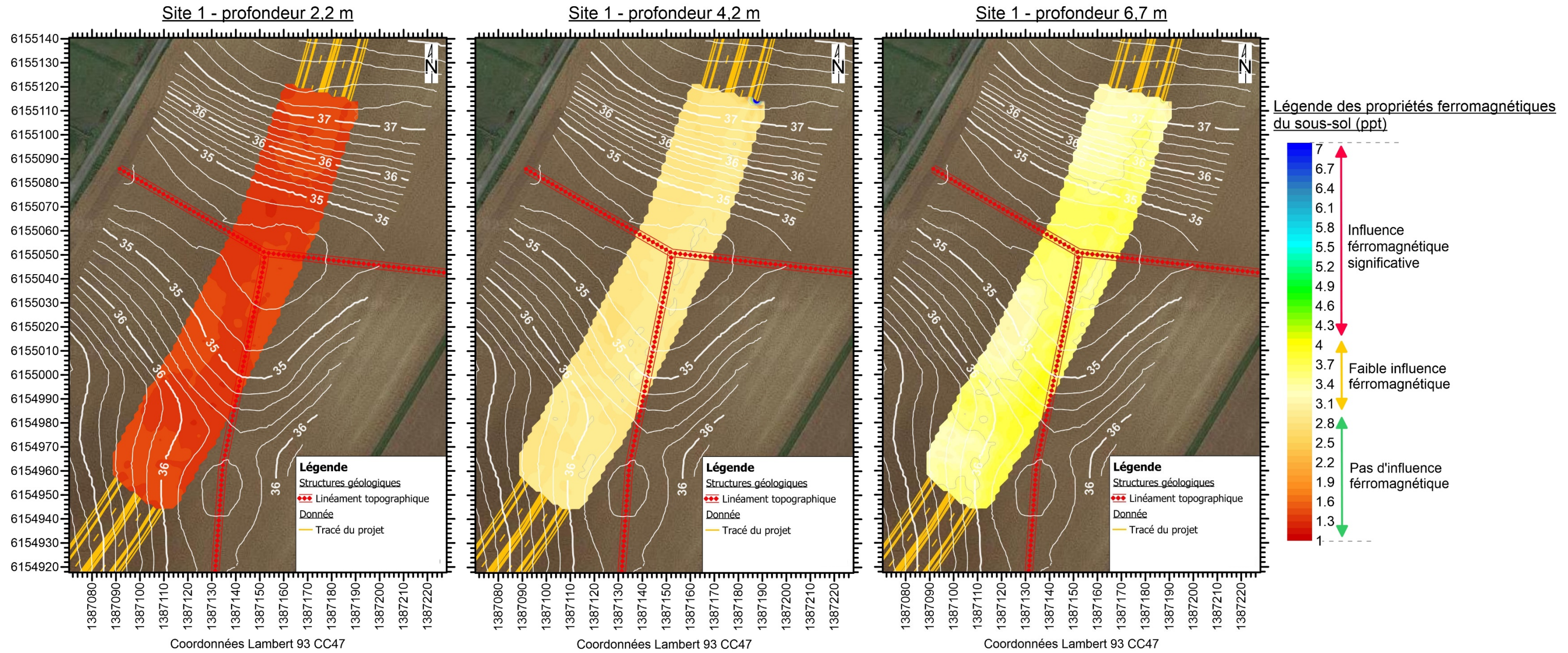


Figure 12 – Résultats des propriétés ferro-magnétiques du sous-sol aux 3 profondeurs d’investigation sur le site 1.

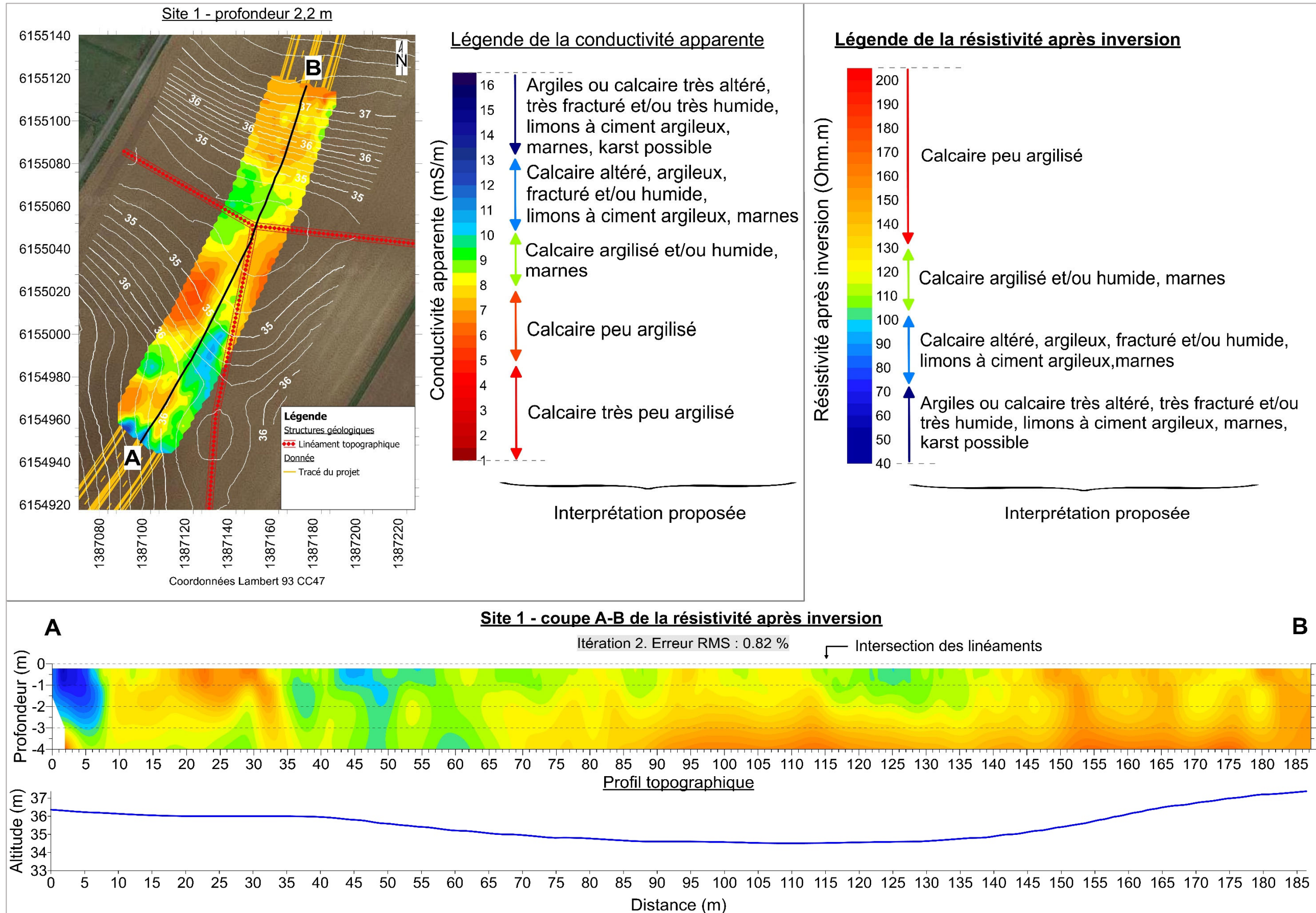


Figure 13 – Coupe de la résistivité après inversion sur le site 1.

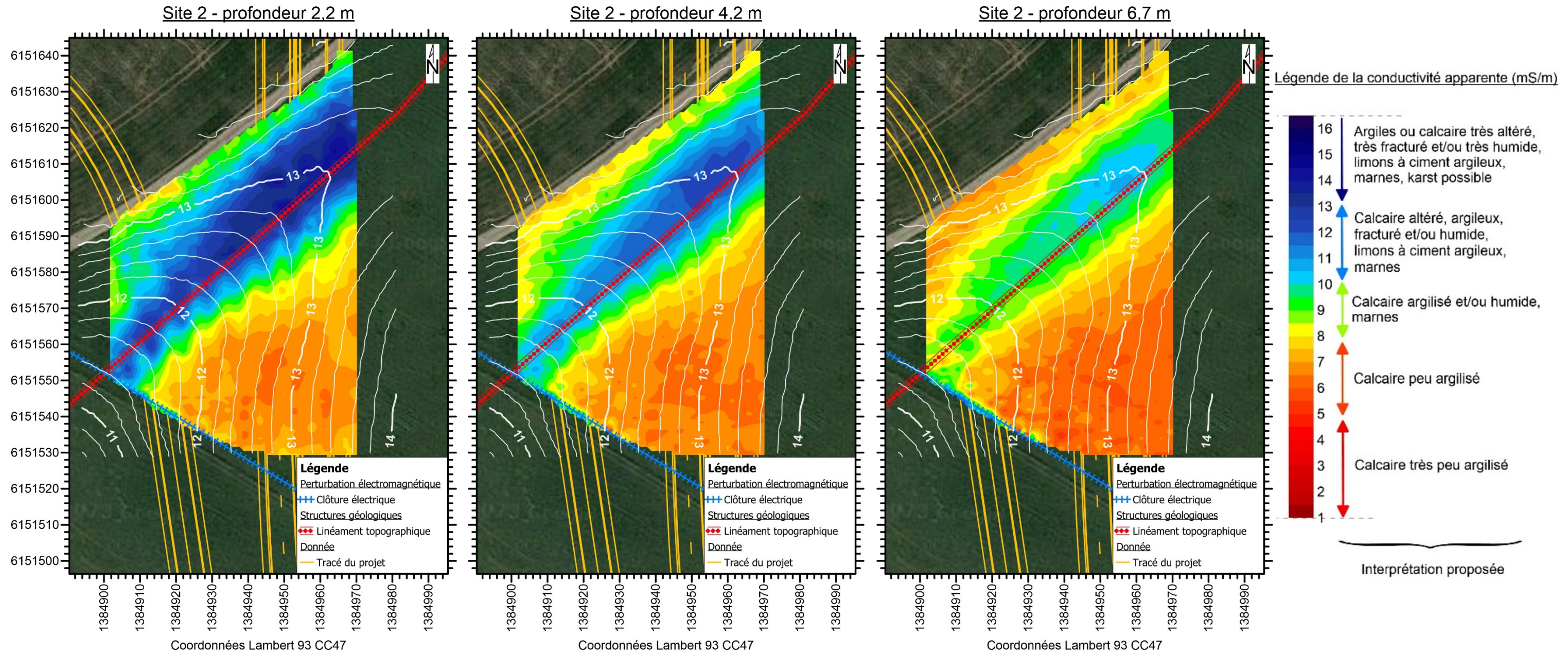


Figure 14 – Résultats de la conductivité apparente aux 3 profondeurs d’investigation sur le site 2.